

Rys. 2.4b

Wartości krzywizn  $\kappa_T$  odkładamy po stronie włókien rozciąganych, natomiast wydłużenia termiczne mają znak dodatni a skrócenia ujemny.

Składniki termiczne w całce Mohra mają postać

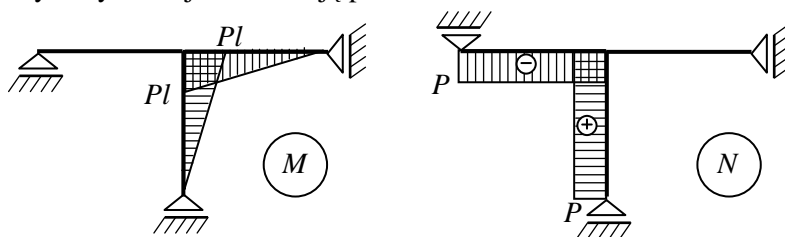
$$\int_s \kappa_T M_1 ds = 1 \cdot \frac{1}{2} \cdot l \cdot \frac{(T_1 - T_0)}{h} \alpha_T = \frac{\alpha_T (T_1 - T_0) l}{2h}$$

$$\int_s \epsilon_T N_1 ds = 0$$

a) W materiale liniowo-sprężystym wyrażenia na wydłużenia  $\epsilon_M$  i zmiany krzywizn  $\kappa_M$

$$\epsilon_M = \frac{N}{EF}, \quad \kappa_M = \frac{M}{EJ}$$

Wykresy funkcji  $M$  i  $N$  mają postać



Rys. 2.4c

Obrót  $\varphi_A$  wyrazi się zależnością

$$\varphi_A = \int_s \frac{NN_1}{EF} ds + \frac{\alpha_T l(T_1 - T_0)}{2h} = -\frac{P}{EF} + \frac{\alpha_T l(T_1 - T_0)}{2h}$$

**b) Materiał nieliniowo-sprężysty**

Wzory na zmiany krzywizn i wydłużeń mechanicznych mają postać

$$\kappa_M = \frac{M^n}{[AJ(N+1)]^n}, \quad \varepsilon_M = \frac{N^n}{(AF)^n}, \quad n = \frac{1}{N}$$

Funkcje  $M$  i  $N$  mają ten sam kształt co w rozwiązaniu liniowym. Wtedy zgodnie z (1) obrót  $\varphi_A$  wyrazi się zależnością

$$\varphi_A = \int_s \left( \frac{N}{AF} \right)^n N_1 ds + \frac{\alpha_T l(T_1 - T_0)}{2h}$$

stąd po podstawieniu otrzymamy wartość obrotu  $\varphi_A$

$$\begin{aligned} \varphi_A &= \int_0^l \frac{P^n}{(AF)^n} \cdot \left( -\frac{1}{l} \right) ds + \frac{\alpha_T l(T_1 - T_0)}{2h} = -\left( \frac{P}{AF} \right)^n + \frac{\alpha_T l(T_1 - T_0)}{2h} = \\ &= -\frac{P^n}{(AF)^n} + \frac{\alpha_T l(T_1 - T_0)}{2h} \end{aligned}$$

Rozpatrywane zadanie jest o tyle szczególne, iż występujący w układzie rozkład momentów zginających jest bez wpływu na wartość kąta obrotu  $\varphi_A$ .

**c) Rozwiązanie lepkosprężyste**

Wzory na krzywiznę i wydłużenie mają postać

$$\kappa_M = \frac{1}{J} G^* dM, \quad \varepsilon_M = \frac{1}{F} G^* dN$$

stąd

$$\begin{aligned} \varphi_A(t) &= \int_0^l \frac{1}{F} G^* dN N_1 ds + \frac{\alpha_T l(T_1 - T_0)}{2h} = \frac{1}{F} \int_0^l N_1 \int_0^t G(t-\tau) dP(\tau) ds + \\ &+ \frac{\alpha_T l(T_1 - T_0)}{2h} = -\frac{1}{F} \int_0^t G(t-\tau) dP(\tau) ds + \frac{\alpha_T l(T_1 - T_0)}{2h}, \end{aligned}$$

$G$  – funkcja pełzania.

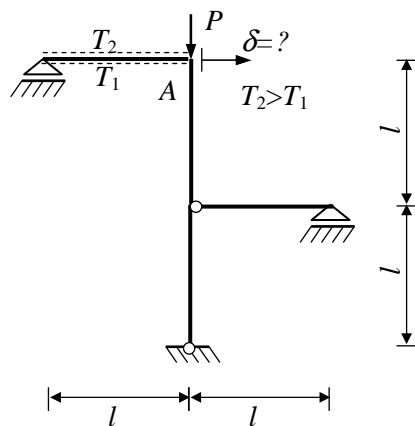
W chwili początkowej  $G(t \rightarrow 0_+) = \frac{1}{E}$  co prowadzi do zależności

$$\varphi_A(0_+) = -\frac{1}{EF} P(0_+) + \frac{\alpha_T l (T_1 - T_0)}{2h}$$

### ZADANIE 2.5.

W podanym układzie statycznie wyznaczalnym poddanym działaniu obciążeń i zmiennych po wysokości przekroju temperatur należy obliczyć przemieszczenie poziome  $\delta_A$  punktu  $A$ . Obliczenia należy przeprowadzić w zakresie:

- |                          |  |
|--------------------------|--|
| a) liniowo sprężystym    | $\sigma = E(\varepsilon - \varepsilon_T)$ ,                    |
| b) nieliniowo sprężystym | $\sigma = A(\varepsilon - \varepsilon_T)^N$ ,                  |
| c) teorii starzenia      | $\varepsilon = \frac{\sigma}{E} + A\sigma^n + \varepsilon_T$ . |



Rys. 2.5a

Dane:  $P, l, E, A, F, J, J(N+1), T_1, T_2$ .

Szukane: wielkość przemieszczenia  $\delta_A$  w punkcie  $A$ .

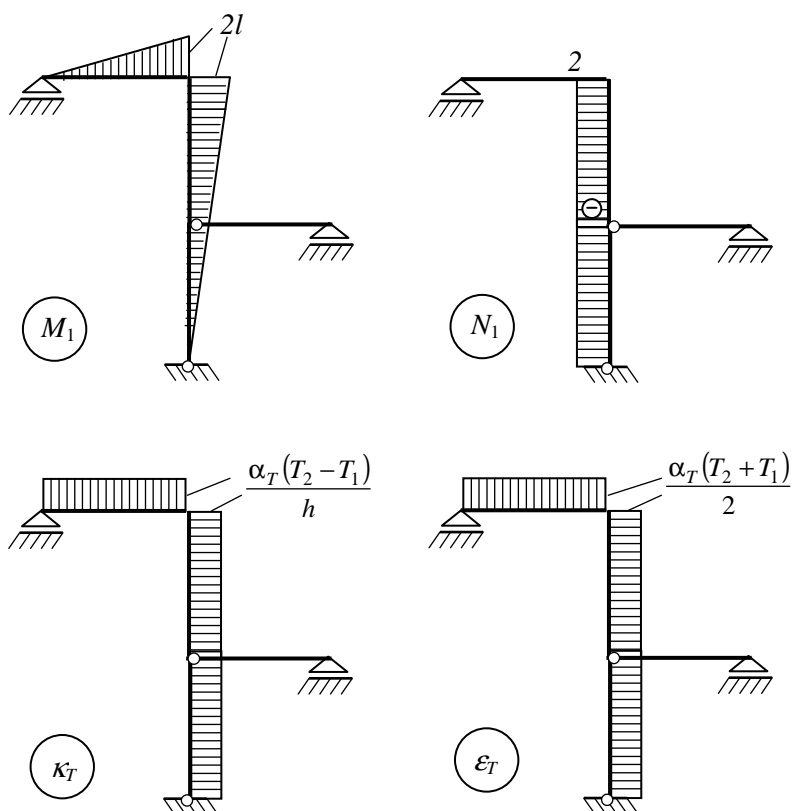
#### Rozwiązanie:

Przemieszczenie punktu  $A$  wyliczymy z wzoru

$$\delta_A = \int_s \kappa_M M_1 ds + \int_s \varepsilon_M N_1 ds + \int_s \kappa_T M_1 ds + \int_s \varepsilon_T N_1 ds$$

gdzie  $\kappa_M, \kappa_T, \varepsilon_M, \varepsilon_T$  są odpowiednio krzywiznami wywołanymi wpływami mechanicznymi i cieplnymi oraz wydłużeniami mechanicznymi i termicznymi.

Wykresy funkcji  $M_1, N_1, \kappa_T$  i  $\varepsilon_T$  mają postać



Rys. 2.5b

Następnie wyznaczamy wartości termicznych deformacji w całce Mohra:

$$\int_s \kappa_T M_1 ds = \frac{1}{2} \cdot 2l \cdot l \cdot \frac{\alpha_T (T_2 - T_1)}{h} + \frac{1}{2} \cdot 2l \cdot 2l \cdot \frac{\alpha_T (T_2 - T_1)}{h} = \frac{3l^2 \alpha_T (T_2 - T_1)}{h}$$

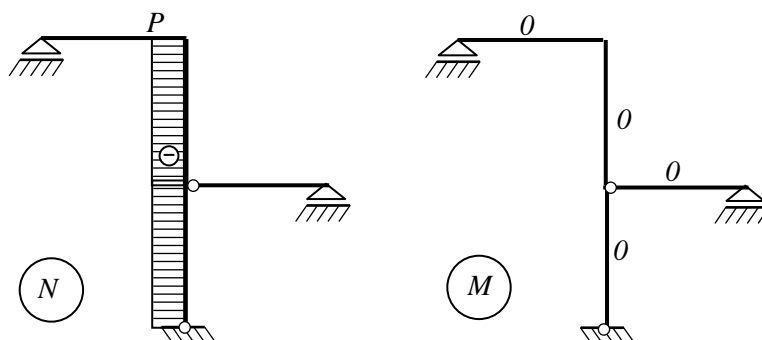
$$\int_s \varepsilon_T N_1 ds = 2 \cdot 2l \cdot \frac{\alpha_T (T_1 + T_2)}{2} = 2l \alpha_T (T_1 + T_2)$$

a) Teraz określimy wartość przemieszczenia  $\delta_A$  w przypadku **liniowo - sprężystym**.

Materiał liniowo sprężysty określają następujące wyrażenia na wydłużenia i zmiany krzywizn

$$\varepsilon_M = \frac{N}{EF} \quad , \quad \kappa_M = \frac{M}{EJ}$$

Wykresy funkcji  $M$  i  $N$  są następujące



Rys. 2.5c

Jak widać w rozważanym przykładzie funkcja momentów zginających  $M$  jest funkcją zerową.

Ostatecznie przemieszczenie  $\delta$  wyrazi się zależnością

$$\begin{aligned} \delta_A &= \int_s \frac{MM_1}{EJ} ds + \int_s \frac{NN_1}{EF} ds + \frac{\alpha_T (T_2 - T_1) 3l^2}{h} + 2l \alpha_T (T_2 - T_1) = \\ &= \frac{4Pl}{EF} + \frac{\alpha_T (T_2 - T_1) 3l^2}{h} + 2l \alpha_T (T_2 + T_1) \end{aligned}$$

b) **Materiał nieliniowo sprężysty**

Wzory na zmianę krzywizn i wydłużeń mechanicznych mają postać

$$\kappa_M = \frac{M^n}{[AJ(N+1)]^n}, \quad \varepsilon_M = \frac{N^n}{(AF)^n}$$

Przemieszczenie  $\delta$  punktu A wyznaczmy z wzoru

$$\delta = \int_0^{2l} \frac{N^n N_1}{(AF)^n} ds + \frac{\alpha_T (T_2 - T_1) 3l^2}{h} + 2l\alpha_T (T_2 + T_1) =$$

$$= \frac{P^n 4l}{(AF)^n} + \frac{\alpha_T (T_2 - T_1) 3l^2}{h} + \alpha_T (T_2 + T_1) 2l$$

### c) Teoria starzenia

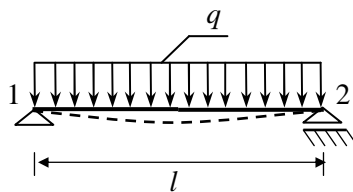
Wzór określający przemieszczenie punktu A dla układu pełzającego wg teorii starzenia ma postać

$$\delta_A = \int_s \frac{MM_1}{EJ} ds + \int_s \frac{AM^n M_1}{J(N+1)^n} ds + \int_s \kappa_T M_1 ds + \int_s \frac{NN_1}{EF} ds + \int_s \frac{AN^n N_1}{F^n} ds +$$

$$+ \int_s \varepsilon_T N_1 ds = \frac{\alpha_T (T_2 - T_1) 3l^2}{h} + \frac{4Pl}{EF} + \frac{AP^n 4l}{F^n} + 2l\alpha_T (T_2 + T_1)$$

### ZADANIE 2.6.

W belce wolnopodpartej o długości  $l$  obciążonej równomiernie obciążeniem  $q$  należy obliczyć kąt wzajemnego obrotu skrajnych przekrojów belki. Zadanie należy przeanalizować dla liniowych i nieliniowych równań fizycznych.



Rys. 2.6a

### Rozwiązanie:

Kąt wzajemnego obrotu końców belki wyznaczmy sumując obrót podpory lewej  $\varphi_1$  i prawej  $\varphi_2$ , czyli  $\varphi_{12} = \varphi_1 + \varphi_2$ . Przy obliczeniach kątów  $\varphi_1$  i  $\varphi_2$  korzystamy z całki Mohra. Funkcja momentu zginającego ma postać

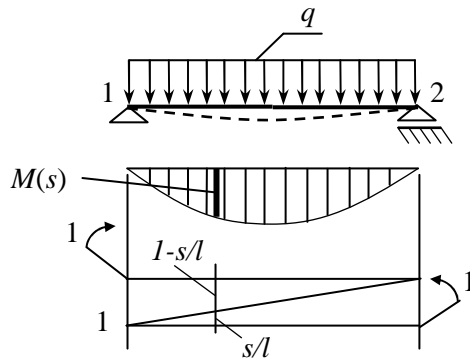
$$M(s) = \frac{ql}{2}s - \frac{qs^2}{2}, \quad M_1(s) = 1 - \frac{s}{l}$$

a) W zadaniu liniowym kąty  $\varphi_1$  i  $\varphi_2$  wynoszą

$$\varphi_1 = \varphi_2 = \frac{1}{EJ} \left( \frac{2ql^2}{24} l \right) \frac{1}{2} = \frac{ql^3}{24EJ}$$

stąd

$$\varphi_{12} = \frac{ql^3}{12EJ}$$



Rys. 2.6b

Zwróćmy uwagę, iż wynik ten wobec liniowości całki Mohra można uzyskać z relacji

$$\varphi_{12} = \varphi_1 + \varphi_2 = \int_0^l \frac{M(s)}{EJ} \left( 1 - \frac{s}{l} \right) ds + \int_0^l \frac{M(s)}{EJ} \frac{s}{l} ds = \int_0^l \frac{M(s) \cdot 1}{EJ} ds$$

Przytoczony wynik jest słuszny również w ogólnym przypadku, ponieważ

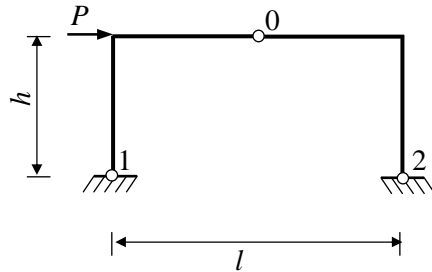
$$\varphi_{12} = \int_0^l \kappa \left( 1 - \frac{s}{l} \right) ds + \int_0^l \kappa \frac{s}{l} ds = \int_0^l \kappa \cdot 1 ds$$

b) W zadaniu nieliniowo sprężystym  $\sigma = A\varepsilon^n$  o krzywiźnie  $\kappa = \left( \frac{M}{AJ(N+1)} \right)^n$  zachodzi

$$\varphi_{12}^N = \int_0^l \kappa \cdot 1 ds = (AJ(N+1))^{-n} \left( \frac{q}{2} \right)^n \int_0^l (ls - s^2)^n ds$$

### ZADANIE 2.7.

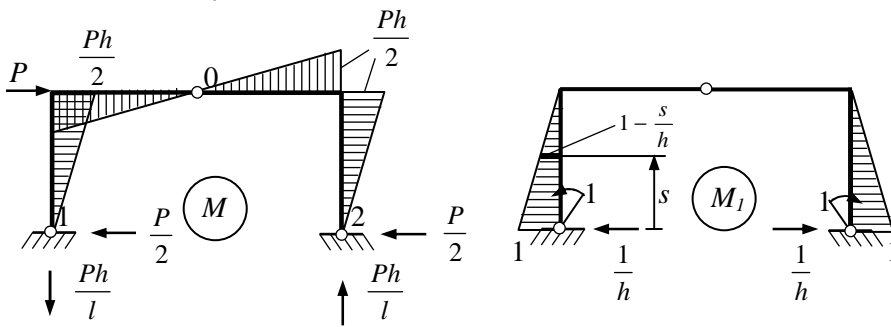
W ramie trójprzegubowej obciążonej siłą poziomą  $P$  należy obliczyć kąt wzajemnego obrotu części przypodporowych 1 – 2.



Rys. 2.7a

#### Rozwiązanie:

Kąt wzajemnego obrotu  $\varphi_{12}$  uzyskamy podobnie jak poprzednio po zsumowaniu obrotów  $\varphi_1$  i  $\varphi_2$ . Funkcje momentów zginających i ich rozkłady przedstawiono na wykresach.



Rys. 2.7b

Równania równowagi

$$H_1 + H_2 = 0$$

$$V_1 l - Ph = 0$$

$$V_1 \frac{l}{2} - H_1 h = 0$$

$$V_1 + V_2 = 0$$



$$V_1 = -V_2 = \frac{Ph}{l}$$

$$H_1 = H_2 = \frac{P}{2}$$

Funkcje momentów

$$M(s) = V_1 s = \frac{Ps}{2}, \quad M(s) = -\frac{Ps}{2}$$

$$-M_1(s) = 1 - \frac{1}{h}s$$

$$+M_1(s) = 1 - \frac{1}{h}s$$

Kąt wzajemnego obrotu  $\varphi_{12}$  obliczymy z całki Mohra

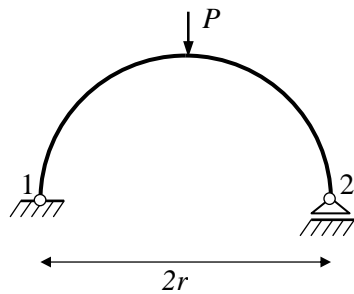
$$\varphi_{12} = \int_0^l \kappa \left(1 - \frac{1}{h}s\right) ds - \int_0^l \kappa \left(1 - \frac{1}{h}s\right) ds = 0$$

Całka ta znika dla dowolnego wyrażenia na krzywiznę  $\kappa$  z uwagi na fakt, iż wykres momentów zginających  $M(s)$  jest asymetryczny, zaś wykres  $M_1(s)$  symetryczny.

Wnosimy stąd, iż kąt wzajemnego obrotu  $\varphi_{12}$  niezależnie od typu materiału jest równy zero. Nie oznacza to oczywiście, iż kąty obrotu  $\varphi_1$  i  $\varphi_2$  również znikną.

### ZADANIE 2.8.

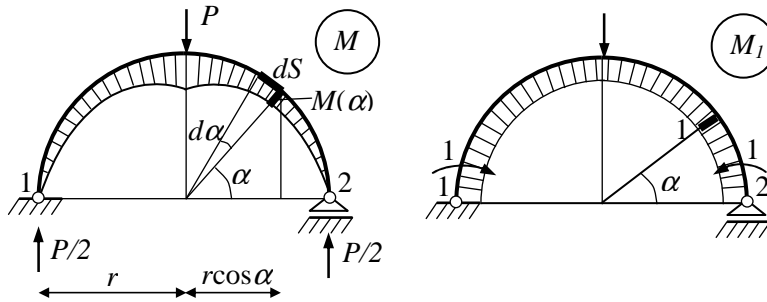
Należy określić w łuku kołowym obciążonym w zworniku siłą skupioną  $P$  kąt wzajemnego obrotu przekrojów przypodporowych. Problem należy przeanalizować w liniowym i nieliniowym zakresie odkształceń sprężystych.



Rys. 2.8a

**Rozwiązanie:**

Kąt wzajemnego obrotu  $\varphi_{12}$  obliczymy wykorzystując całkę Mohra ( $ds = r d\alpha$ )



Rys. 2.8b

Funkcja momentów zginających  $M(\alpha)$  ma postać

$$M(\alpha) = \frac{P}{2}(r - r \cos \alpha) = \frac{P r}{2}(1 - \cos \alpha), \quad M_1(\alpha) = 1$$

a) Kąt wzajemnego obrotu  $\varphi_{12}$  w **zadaniu liniowym** wynosi

$$\begin{aligned} \varphi_{12} &= 2 \int_0^{\pi/2} \kappa M_1 r d\alpha = \frac{2}{EJ} \int_0^{\pi/2} \frac{P r^2}{2} (1 - \cos \alpha) d\alpha = \\ &= \frac{P r^2}{EJ} [\alpha - \sin \alpha]_0^{\pi/2} = \frac{P r^2}{EJ} \left[ \frac{\pi}{2} - 1 \right] \end{aligned}$$

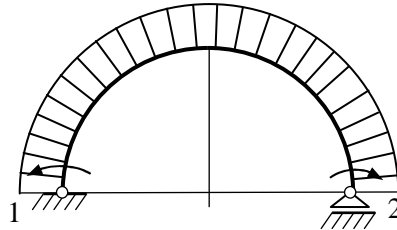
b) W **zadaniu nieliniowym**  $\sigma = A \varepsilon^{1/n}$  o krzywiźnie  $\kappa = \left( \frac{M}{AJ(N+1)} \right)^n$

analogiczny względny obrót wynosi

$$\varphi_{12}^N = 2 \int_0^{\pi/2} \left( \frac{M}{AJ(N+1)} \right)^n M_1 r d\alpha = \frac{2r}{(AJ(N+1))^n} \left( \frac{P r}{2} \right)^{n\pi/2} \int_0^{\pi/2} (1 - \cos \alpha)^n d\alpha$$

### ZADANIE 2.9.

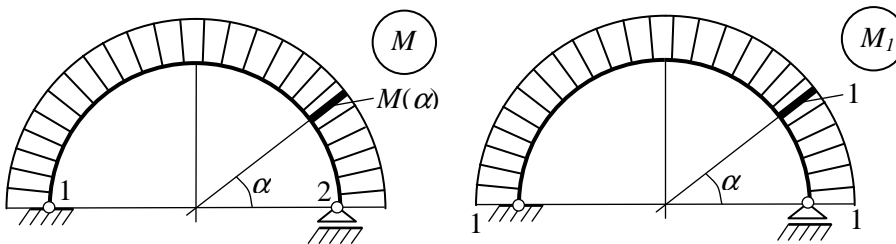
Należy określić w łuku kołowym przedstawionym na rys. 2.9a kąt względnego obrotu podpór. Zadanie należy rozwiązać w zakresie sprężystym (nieliniowym i liniowym), a uzyskane wyniki porównać.



Rys. 2.9a

#### Rozwiązanie:

Funkcja momentów zginających jest stała  $M(\alpha) = const$  podobnie jak funkcja  $M_1(\alpha) = const$  (rys.2.9b). Kąty wzajemnego obrotu obliczymy z całki Mohra.



Rys. 2.9b

a) W zadaniu liniowym będzie

$$\varphi_{12} = \int_0^{\pi} \frac{M}{EJ} M_1 r d\alpha = \frac{M}{EJ} \pi r$$

b) W zadaniu nieliniowym  $\sigma = A\varepsilon^{1/n}$  zachodzi

$$\varphi_{12}^N = \int_0^{\pi} \left( \frac{M}{AJ(N+1)} \right)^n r d\alpha = \left( \frac{M}{AJ(N+1)} \right)^n \pi r$$

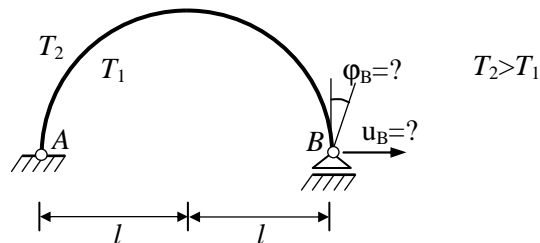
Z porównania rozwiązań obu zadań wynika, że

$$\frac{\varphi_{12}^N}{\varphi_{12}} = \left( \frac{M}{AJ(N+1)} \right)^n \frac{EJ}{M} = \frac{EJ}{(AJ(N+1))^n} M^{n-1}$$

Stosunek obrotów w obu zadaniach nieliniowym zależy od stosunku sztywności  $\frac{EJ}{AJ(N+1)^n}$  i momentu  $M$ .

### ZADANIE 2.10.

Należy określić przemieszczenie i kąt obrotu punktu  $B$  łuku kołowego statycznie wyznaczalnego poddanego działaniu nierównomiernego ogrzewania.



Rys. 2.10a

Dane:  $T_1, T_2, l, E, A, F, J, J(N+1)$

Szukane:  $\varphi_B, u_B$

#### Rozwiązanie:

Szukane przemieszczenia punktu  $B$  wyliczymy ze wzoru

$$\delta = \int_s \kappa_M M_1 ds + \int_s \varepsilon_M N_1 ds + \int_s \kappa_T M_1 ds + \int_s \varepsilon_T N_1 ds$$

gdzie  $\kappa_M, \kappa_T, \varepsilon_M, \varepsilon_T$  są odpowiednio krzywiznami i odkształceniami wywołanymi wpływami mechanicznymi i cieplnymi. Z powyższego wzoru wyliczymy szukane przemieszczenie liniowe  $u_B$  oraz obrót  $\varphi_B$ . W miejsce szukanego przemieszczenia możemy wstawić jednostkową siłę dla

przemieszczenia liniowego  $u_B$ , a dla przemieszczenia kąowego  $\varphi_B$  wstawiamy jednostkowy moment.

Jako, że w powyższym zadaniu mamy tylko oddziaływania termiczne, wzór dla przemieszczenia  $u_B$  przyjmie postać

$$u_B = \int_s \kappa_T M_1 ds + \int_s \varepsilon_T N_1 ds, \quad M_1 = M_1(P=1)$$

$$N_1 = N_1(P=1)$$

a dla przemieszczenia kąowego  $\varphi_B$  będziemy mieli zależność

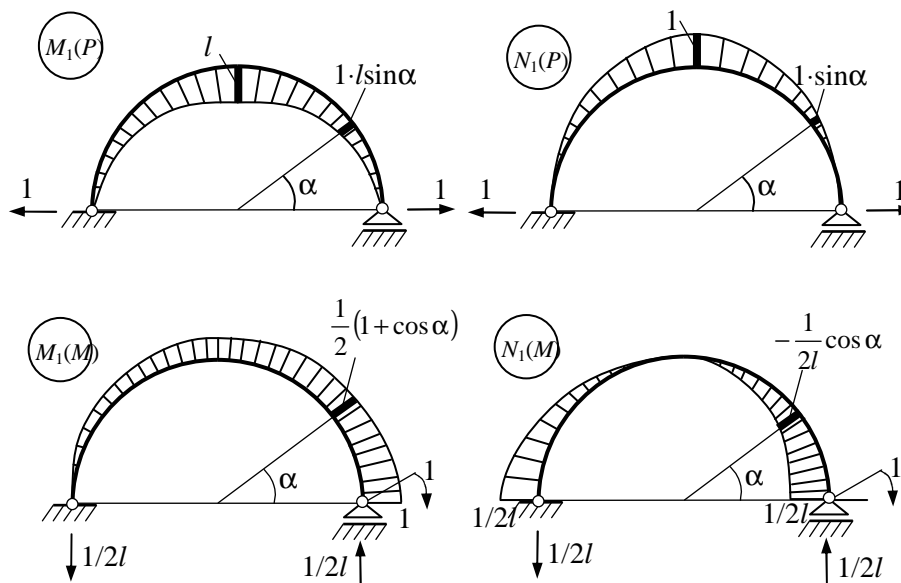
$$\varphi_B = \int_s \kappa_T M_1 ds + \int_s \varepsilon_T N_1 ds, \quad M_1 = M_1(M=1)$$

$$N_1 = N_1(M=1)$$

Niezależnie od równania fizycznego, krzywizny i wydłużenia pochodzące od przyrostu temperatury mają postać

$$\kappa_T = \frac{\alpha_T(T_2 - T_1)}{h}, \quad \varepsilon_T = \frac{\alpha_T(T_1 + T_2)}{2}$$

Wykresy funkcji  $M_1(P)$ ,  $N_1(P)$ ,  $M_1(M)$ ,  $N_1(M)$  mają następującą postać



Rys. 2.10b

Podstawiając wyrażenia na  $\kappa_T, \varepsilon_T$  i siły od wpływów jednostkowych uzyskamy

$$u_B = \int_0^\pi \frac{\alpha_T (T_2 - T_1)}{h} (l \sin \alpha) l d\alpha + \int_0^\pi \frac{\alpha_T (T_1 + T_2)}{2} \sin \alpha l d\alpha, \quad ds = l d\alpha$$

oraz

$$\varphi_B = \int_0^\pi \frac{\alpha_T (T_2 - T_1)}{h} \frac{1}{2} (1 + \cos \alpha) l d\alpha - \int_0^\pi \frac{\alpha_T (T_1 + T_2)}{2} \frac{1}{2l} \cos \alpha l d\alpha$$

Po wyliczeniu całek i przekształceniach szukane przemieszczenia przyjmą postać

$$u_B = \frac{2\alpha_T (T_2 - T_1) l^2}{h} + \alpha_T (T_2 + T_1) l$$

$$\varphi_B = \frac{\alpha_T (T_2 - T_1) l \pi}{2h}$$

Wynik ten jest prawdziwy zarówno dla rozwiązania liniowo i nieliniowo sprężystego, jak również dla teorii starzenia. Ogólnie jest on słuszny dla każdego równania teorii naprężeń cieplnych. Istotnie, w ogólnym wyrażeniu na przemieszczenia znikną całki Mohra od obciążeń mechanicznych, a pozostają jedynie człony wynikające z odkształceń termicznych. Dzieje się tak dlatego, gdyż różnica między zadaniem liniowym a nieliniowym tkwi w sposobie definiowania tylko deformacji mechanicznych, których tu nie ma.